

ОБНАРУЖЕНИЕ ПРОТЯЖЕННЫХ ПОЛОИДАЛЬНЫХ СТРУКТУР В ТУРБУЛЕНТНОЙ КРАЕВОЙ ПЛАЗМЕ СТЕЛЛАРАТОРА Л-2М

Г.М.Батанов, А.Е. Петров, К.А.Сарксян, Н.Н.Скворцова, О.И.Федянин,
Н.К.Харчев, Ю.В.Хольнов, С.В.Щепетов, К.Идальго^{*1)}, М.Педроса^{*1)},
Б. ван Миллиген^{*1)}, Е.Санchez^{*1)}

Институт общей физики РАН
117942 Москва, Россия

* CIEMAT, 28040 Madrid, Spain

Поступила в редакцию 25 марта 1998 г.

Приводятся результаты эксперимента по изучению характеристик турбулентной краевой плазмы в стеллараторе Л-2М. Обнаружено образование протяженных когерентных структур в полоидальном направлении. Длина полоидальной когерентности флуктуаций достигает 20 см. Когерентность флуктуаций заметно зависит от полоидального азимута и максимальна на внешнем обводе, что естественно для неустойчивых мод в тороидальной плазме.

PACS: 52.25.Fi, 52.35.Ra, 52.55.Hc

Перенос частиц, определяемый флуктуациями в краевой плазме, рассматривается в последние годы как один из процессов, который может влиять на глобальное удержание в тороидальных магнитных ловушках с разной конфигурацией магнитных полей [1], поэтому важны измерения характеристик плазменных флуктуаций. Особое внимание как в теоретических, так и в экспериментальных работах уделяется феномену образования скоррелированных (или когерентных²⁾) радиальных и полоидальных структур, обнаруживаемых из измерений длин когерентности регистрируемых флуктуаций [2 – 4]. Возможности эксперимента значительно расширились с применением спектрального анализа флуктуационных сигналов по волновым пакетам (вейвлет-анализ³⁾) [5], с помощью которого можно получить информацию о когерентности частотных вейвлет-компонент с высоким разрешением во времени [6]. Такими методами были зарегистрированы когерентные радиальные и полоидальные структуры в краевой турбулентной плазме тороидальных магнитных ловушек [2,3]. Протяженность структур не превышала 1 см. В эксперименте, результаты которого представлены в настоящей статье, была обнаружена высокая когерентность плазменных флуктуаций на расстояниях до десятков сантиметров в полоидальном направлении в краевой плазме стелларатора Л-2М. Обнаружение столь протяженных когерентных структур, охватывающих значительную часть малого периметра плазменного шнура, может во многом изменить представления о процессах в приграничной плазме стеллараторов и токамаков.

¹⁾ C.Hidalgo, M.Pedrosa, B. van Milligen, E.Sanchez

²⁾ Понятие когерентности относится к частотным компонентам флуктуационных сигналов, а понятие корреляции – к самим сигналам.

³⁾ Прямая транскрипция с английского "wavelet" на русский "вейвлет" введена в качестве научного термина в [5].

Стелларатор Л-2М [7] - двухзаходный стелларатор, большой радиус тора $R = 100$ см, средний малый радиус плазмы $< r > = 11.5$ см. Создание и нагрев плазмы осуществлялись в режиме электронно-циклотронного резонанса на второй гармонике гирочастоты электронов (магнитное поле в центре плазмы $B = 1.3 - 1.4$ Тл) при мощности гиротронного излучения $P_0 = 150 - 200$ кВт и длительности импульса нагрева до 10 мс. Измерения проводились в плазме, средняя плотность которой $< n > = (1.3 - 1.8) \cdot 10^{13}$ см $^{-3}$, центральная температура электронов $T_e(0) = 400 - 600$ эВ, в качестве рабочего газа использовался гелий. В краевой плазме на радиусе $r/r_s = 0.9$ (r_s – радиус сепаратрисы) плотность $n(r) = 1 - 2 \cdot 10^{12}$ см $^{-3}$, электронная температура близка к $T_e(r) = 30 - 40$ эВ, относительный уровень флюктуаций плотности во внешних областях плазмы $(\delta n/n)_{out} = 0,2 - 0,25$, а во внутренних – $(\delta n/n)_{in} = 0,1$.

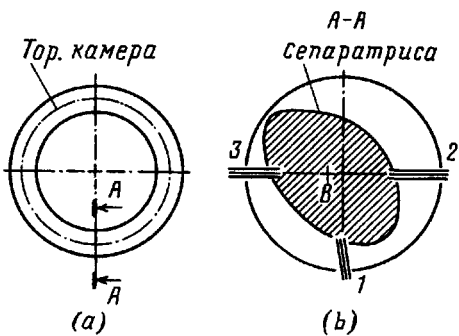


Рис.1. Схема расположения зондовых устройств: a) вид сверху на тороидальную камеру, b) полоидальное сечение A – A; 1 – вертикальный зонд, 2 – горизонтальный внешний зонд, 3 – горизонтальный внутренний зонд; расстояния между зондами $l_{12} \approx 20$ см, $l_{13} \approx 15$ см, $l_{23} \approx 35$ см

Измерения выполнялись с помощью трех зондовых устройств, расположенных, как показано на рис.1, в одной полоидальной плоскости сечения (малое сечение тора A – A). Каждое из зондовых устройств состояло из нескольких одиночных цилиндрических зондов. В отдельном зондовом устройстве одиночные зонды располагались друг от друга в радиальном и полоидальном направлениях на расстоянии $l = 4 \div 5$ мм, в то время как расстояние в полоидальном направлении между зондовыми устройствами составляло десятки сантиметров (см. рис.1). Зонды регистрировали флюктуации плотности плазмы δn (режим ионного тока насыщения $I_s, \delta I_s \sim \delta n$), флюктуации плавающего потенциала $\delta\phi$, и по этим измерениям вычислялся флюктуационный радиальный поток частиц [3]. Каждое из зондовых устройств можно было перемещать в глубь плазмы на 1,5–2 см от сепаратрисы.

Обычно в подобных экспериментах использовалось одно зондовое устройство и ограничивались измерениями когерентности флюктуаций на расстояниях в несколько миллиметров. Так, в работе [3] была зарегистрирована когерентность плазменных флюктуаций на расстоянии $l = 7$ мм в радиальном и в полоидальном направлениях в диапазоне частот от нескольких десятков килогерц до 300–400 кГц. Там же было предположено, что ответственными за образование подобных когерентных структур являются неустойчивые резистивные магнитогидродинамические (МГД) моды, связанные с наличием у системы магнитного бугра [8].

В эксперименте, о результатах которого речь идет в настоящей статье, была поставлена иная задача, а именно: определить, имеет ли место когерентность флюктуаций в полоидальном направлении на больших расстояниях до десятков сантиметров,

охватывающих значительную часть малого периметра плазменного шнуря, и если есть, то какова разница в когерентности для внутренней (ближней к главной оси тора) и для внешней областей плазмы. Последнее важно, поскольку для неустойчивых МГД мод в тороидальной геометрии характерна преимущественная локализация во внешних областях плазменного шнуря [8].

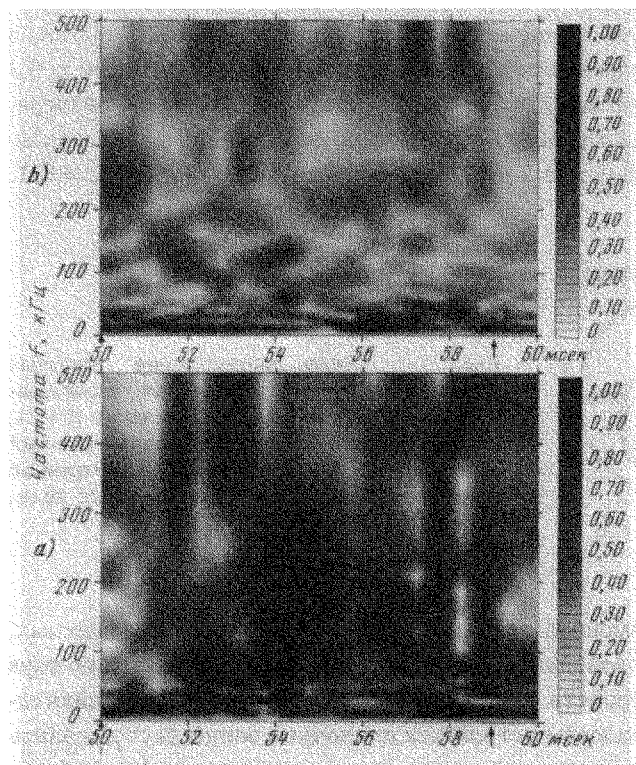


Рис.2. Полоидальная вейвлет-когерентность флюктуаций ионного тока насыщения между вертикальным зондом и внешним горизонтальным зондом (а), между вертикальным зондом и внутренним горизонтальным зондом (б). Положение зондов относительно сепараторы: $(r/r_s)_1 = 0.86$, $(r/r_s)_2 = 0.84$, $(r/r_s)_3 = 0.9$

Обратимся к результатам измерений. На рис.2 приведена полоидальная взаимная вейвлет-когерентность флюктуаций ионного тока насыщения между вертикальным и внешним горизонтальными зондами (рис.2а) и между вертикальным и внутренним горизонтальными зондами (рис.2б). По оси абсцисс отложено реальное время в миллисекундах (стрелками отмечены начало и конец гиротронного импульса нагрева), по оси ординат – линейная частота в килогерцах, коэффициент взаимной когерентности частотных вейвлет-компонент флюктуационных сигналов обозначен оттенком серого цвета: от черного (коэффициент когерентности – единица) до белого (коэффициент когерентности – нуль). Отметим, что вейвлет-когерентность вычислялась для рис.2 при времени задержки (Δ) между сигналами $t_\Delta = 0$. На рис.2а отчетливо прослеживается высокая полоидальная когерентность между флюктуациями с вертикального и внешнего горизонтального зондов, разделенных расстоянием $l_{12} \approx 20$ см. Коэффициент взаимной когерентности частотных вейвлет-компонент лежит в интервале значений от 0.4 до 0.9. В то же время полоидальная когерентность флюктуационных сигналов во внутренней области плазменного шнуря (рис.2б) в несколько раз ниже. Таким образом, можно говорить, что длина когерентности флюктуационных сигналов в полоидальном направлении может значительно превышать зарегистриро-

ванные до сих пор длины и достигать нескольких десятков сантиметров. Очевиден также и факт преимущественной локализации когерентности во внешних областях плазменного шнура, что косвенно подтверждает резистивно-баллонную природу наблюдавшихся неустойчивых мод.

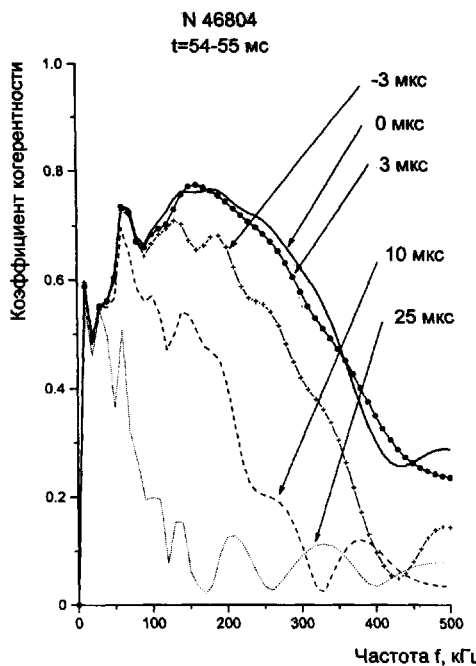


Рис.3. Коэффициент вейвлет-когерентности в зависимости от частоты в фиксированный момент реального времени. $t = 54 - 55$ мс. Положение зондов относительно сепараторы: $(r/r_s)_1 = 0.86$, $(r/r_s)_2 = 0.84$

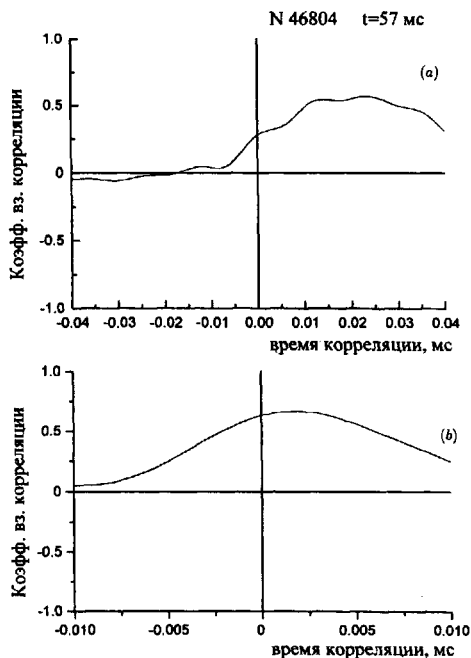


Рис.4. Зависимость коэффициента взаимной корреляции от времени корреляции между флуктуационными сигналами плавающего потенциала: а – между вертикальным и внешним горизонтальным зондами, $l_{12} \approx 20$ см, б – между двумя одиничными зондами вертикального зондового устройства, $l_{11} = 4 \div 5$ мм, $t = 57 - 57.5$ мс. Положение зондов относительно сепараторы: $(r/r_s)_1 = 0.86$, $(r/r_s)_2 = 0.84$

Полезную информацию о направлении движения флуктуаций в когерентных структурах, об их скорости можно получить, если построить серию зависимостей коэффициента взаимной вейвлет-когерентности от частоты в фиксированный момент времени, но при разных значениях времени задержки (или времени корреляции) между сигналами как в положительную, так и в отрицательную сторону. На рис.3 приведены такие зависимости, полученные для интервала реального времени от 54 до 55 мс при разных временах задержки (Δ): $t_\Delta = 0, \pm 3, 10, 25$ мкс. Вейвлет-когерентность рассчитывалась между флуктуационными сигналами с вертикального и внешнего горизонтального зондов. Из сравнения приведенных на рис.3 зависимостей видно, что при временах задержки до $t_\Delta = 10$ мкс коэффициент когерентности сильнее падает для относительно высоких частот (> 200 кГц), но при временах задержки $t_\Delta = 25$ мкс коэффициент когерентности для всех частот, превы-

шающих минимально разрешимую частоту (то есть при $f > 50 \div 70$ кГц), опускается практически до фонового уровня ($\leq 0,2$). Отсюда несложно сделать оценку величины скорости когерентных флуктуаций в полоидальном направлении. Она оказывается лежащей в интервале значений $v_{pol} \approx 1 \div 2 \cdot 10^6$ см/с. При этом из факта более сильного спадания коэффициента когерентности при отрицательных временах задержки (см. рис.3) можно заключить, что полоидальная скорость флуктуаций направлена от вертикального зонда к внешнему, то есть в сторону электронного диамагнитного дрейфа. Аналогичные результаты следуют и из интегральных по частотному спектру зависимостей коэффициента взаимной корреляции от времени корреляции между двумя флуктуационными сигналами с зондов, пространственно разнесенных в полоидальном направлении. На рис.4а приведена такая зависимость коэффициента взаимной корреляции, полученная в интервале реального времени $t = 57 \div 57.5$ мс между флуктуационными сигналами плавающего потенциала с вертикального и внешнего горизонтального зондов ($l_{12} \approx 20$ см). Нетрудно убедиться по положению максимума коэффициента взаимной корреляции, что полоидальное движение скоррелированных флуктуаций также направлено от вертикального зонда к внешнему горизонтальному, то есть в сторону электронного диамагнитного дрейфа, а скорости лежат в интервале $v_{pol} \approx 0.5 \div 2 \cdot 10^6$ см/с. Для сравнения на рис.4б приведена зависимость коэффициента полоидальной взаимной корреляции также между флуктуационными сигналами плавающего потенциала, но с двух одиночных зондов только вертикального зондового устройства, разделенных, как указывалось ранее, малым расстоянием $l_{11} = 4 \div 5$ мм. И в этом случае флуктуационное движение направлено в сторону электронного диамагнитного дрейфа, а скорость $v_{pol} \approx 0.5 \cdot 10^6$ см/с близка к значениям, приведенным выше. Поскольку корреляционные зависимости рис.4а и рис.4б получены в одном и том же выстреле, то по-видимому можно говорить об идентичности флуктуаций, скоррелированных в полоидальном направлении, как на малом расстоянии $l_{11} = 4 \div 5$ мм, так и на большом, когда $l_{12} \approx 20$ см.

Таким образом, представленные в настоящей статье экспериментальные результаты позволяют сделать следующие выводы:

1. Обнаружена высокая корреляция флуктуаций на больших расстояниях в полоидальном направлении, что позволяет говорить о существовании длины корреляции флуктуаций в краевой плазме стелларатора до $l_{cor} = 20$ см.

2. Высоко ссогрелированные флуктуации локализованы преимущественно во внешней области плазменного шнура, что косвенно подтверждает их резистивно-баллонную природу.

3. Полоидальная скорость скоррелированных флуктуаций лежит в интервале значений $v_{pol} \approx 0.5 \div 2 \cdot 10^6$ см/с.

4. Флуктуации, скоррелированные на малых ($4 \div 5$ мм) и на больших (20 см) расстояниях, в полоидальном направлении идентичны.

В заключение авторы приносят искреннюю признательность коллективу стелларатора Л-2М, обеспечившему проведение эксперимента.

Работа выполнена при поддержке Российского Фонда Фундаментальных Исследований, проект № 98-02-16345.

1. C.Hidalgo, Plasma Physics and Control. Fusion, **37**, A53, (1995).
2. C.Hidalgo, M.A.Pedrosa, B. van Milligen et al., Proc. of the 16th IAEA Fusion Energy Cont., Montreal, 1996, AP1-4.
3. N.N.Skvortsova, G.Batanov, K.A.Sarksian et al., J. of Pl. and Fusion Res. (JPFR Series, vol.1), in print., 1998.
4. W.Horton, T.Tajima et al., Comments Pl. Phys. Contr. Fusion **17**, №4, 205 (1996).
5. Н.М.Астафьева, УФН **166**, 1145 (1996).
6. C.Hidalgo, M.Pedrosa, B.Ph. van Milligen et al., Phys.Plasmas **2**, 3017 (1996).
7. V.V.Abrakov, D.K.Akulina, G.M.Batanov et al. Proc. of the 10th Int.Conf. on stellarators. EUR-CIEMAT **30**, (1995).
8. Л.М.Коврижных, С.В.Щепетов. Физика плазмы **7**, 419 (1981).